

مشخصه‌های ریزساختاری، مغناطیسی و جذب امواج مایکروویو هگزافریت باریم جانشین شده با یون‌های Co-Cr-Sn به روش مکانوشیمیایی

سید سلمان سید افچه‌ی^۱، مجتبی جعفریان^۲^۱ گروه مهندسی مواد، دانشکده فنی مهندسی، دانشگاه جامع امام حسین (ع)، تهران^۲ گروه مهندسی مواد، دانشگاه آزاد اسلامی واحد تهران جنوب

jafarian_67@yahoo.com

چکیده:

در این پژوهش سنترو بررسی خواص هگزافریت باریم آلاش شده با یون‌های کبات، کروم و قلع با فرمول $BaCo_xCr_xSn_xFe_{12-3x}O_{19}$ به روش مکانوشیمیایی صورت گرفت. برای این منظور دو نمونه با مقادیر $x = 0/3$ و $0/5$ تهیه شد. بررسی‌های فازی و ساختاری به ترتیب با آنالیز پراش اشعه ایکس (XRD) و طیف‌سنجدی مادون قرمز (FT-IR) تایید کننده تشکیل هگزافریت باریم به همراه مقادیر جزئی فاز ثانویه هماتیت پس از ۵ ساعت عملیات حرارتی در دمای $1000^{\circ}C$ بود. همچنین طبق تصاویر میکروسکوپ الکترونی رویشی (SEM) مورfolوژی ذرات به صورت کاملا هگزاگونال با میانگین اندازه ذرات $65-100$ nm بود. بر اساس پارامتر مغناطیسی اندازه‌گیری شده توسط مغناطیس سنج نمونه مرتعش (VSM) هر دو نمونه بر مبنای مقادیر نیترویی و ادارندگی، از نظر مغناطیسی نیمه سخت بوده و بیشترین میزان مغناطیش اشباع در نمونه با ترکیب $BaCo_{0.3}Cr_{0.3}Sn_{0.3}Fe_{11.1}O_{19}$ حاصل شد. مقادیر مغناطیش اشباع (Ms) و نیترویی و ادارندگی (Hc) برای این ترکیب به ترتیب برابر $42/21$ emu/g و $12/5$ GHz مودار ارزیابی قرار گرفت. طبق نتایج بیشترین میزان جذب مربوط به کامپوزیت $BaCo_{0.5}Cr_{0.5}Sn_{0.5}Fe_{10.5}O_{19}$ /رزنین اپوکسی با خاصت 5 mm در فرکانس $12/2$ GHz به میزان 15 dB بود.

اطلاعات مقاله:

دریافت: ۱۲ فروردین ۱۳۹۴

پذیرش: ۲۰ شهریور ۱۳۹۴

کلید واژه:

هگزافریت باریم، مکانوشیمیایی،
ریزساختار، خواص مغناطیسی،
جذب امواج مایکروویو

پیدا کرده است و همین مساله منجر به افزایش تقاضا برای مواد با خواص مغناطیسی نرم به منظور استفاده در دستگاه‌های القایی برای کاربرد در فرکانس‌های بسیار بالا (Very High Frequency= VHF) شده است [۷-۲]. فریت هگزاگونال نوع Z یکی از ترکیبات کاربردی در

۱- مقدمه

فریت‌ها یکی از انواع مواد مغناطیسی کاربردی در صنعت الکترونیک هستند [۱]. در سال‌های اخیر پیشرفت‌های صنعت الکترونیک به سمت استفاده از فرکانس‌های بالا سوق

آلیش پودر هگزافریت باریم با استفاده از لاتانیوم و کبالت به روش حالت جامد پرداختند. ترکیب مورد نظر آنها $Ba(LaCo)_xFe_{12-2x}O_{19}$ بوده که مقادیر x بین صفر تا ۰/۵ است. طبق گزارشات آنها آلیش ترکیب به میزان x برابر ۱/۰ منجر به افزایش مغناطش اشباع (M_s) و نیروی واکنشی (H_c) شده و در صورت افزایش مقدار x هر دو پارامتر کاهش می‌یابند. تاکنون مطالعات مدونی در زمینه بررسی خواص ریزساختاری، مغناطیسی و جذب امواج مایکروویو توسط هگزافریت باریم با جایگزینی یون‌های آهن توسط کاتیون‌های کبالت، کروم و قلع صورت نگرفته است. برای این منظور در این پژوهش، این ترکیب بوسیله کاتیون‌های کبالت، کروم و قلع به روش مکانوشیمیایی آلیش شد و خواص ریزساختاری، مغناطیسی و همچنین رفتار جذب امواج مایکروویو این ترکیب در محدوده فرکانسی باند X پس از آلیش مورد بررسی قرار گرفت.

۲- مواد و روش‌ها

هگزا فریت باریم نوع M با فرمول شیمیایی $BaCo_xCr_xSn_xFe_{12-3x}O_{19}$ به روش مکانوشیمیایی آلیش شد. برای دستیابی به این ترکیب، از مخلوطی حاوی مقادیر استوکیومتری از کربنات باریم ($BaCO_3$)، اکسید آهن (Fe_2O_3)، اکسید کبالت (CoO)، اکسید کروم (Cr_2O_3) و دی‌اکسید قلع (SnO_2) استفاده شد. میزان آلیش (x) برای شرایط مختلف مقادیر ۰/۳ و ۰/۵ در نظر گرفته شد. مخلوط مورد نظر با توجه به نسبت وزنی گلوله به پودر برابر با ۲۰:۱ در درون قندانی آسیاب گلوله‌ای سیارهای مدل Retsch PM100 که حاوی ۲ محفظه فولادی و ۱۱ گلوله از جنس

فرکانس‌های محدوده گیگاهرتز است که به دلیل ناپایداری ترکیب فازی و دماهای بالاستر (بالاتر از $1300^{\circ}C$) کاربرد این ترکیب را به شکل چشمگیری کاهش داده است [۱۵-۱۸]. در این میان هگزافریت باریم نوع M یکی از بهترین و شناخته شده‌ترین ترکیبات خانواده هگزافریتها است [۱۷، ۱۶]. هگزافریت باریم خالص به عنوان یکی از شاخص‌ترین مواد مغناطیسی سخت با ناهمسانگردی مغناطوبلوری بالا در راستای محور c است که با جایگزینی کاتیون‌های مختلف با یون‌های Fe^{+3} در ساختار بلوری آن، همچون، $[Co^{2+}-La^{3+}]$ $Zn^{2+}-Ti^{4+}$ [۱۸] $[Co^{2+}]$ و $Ce^{4+}-Ti^{4+}$ [۲۱] می‌تواند به یک ماده مغناطیسی نرم بواسطه کاهش ناهمسانگردی مغناطوبلوری در راستای محور c و تغییر جهت آسان مغناطش از محور c به صفحه ab (بواسطه کاهش برهمکنش‌های فوق‌تبادلی یون‌های آهن و اکسیژن) تبدیل شود. هگزافریت باریم خالص و آلیش شده با کاتیون‌های مختلف، به صورت ساختار بلوری متقارن هگزاگونال با گروه فضایی $P6_m/mmc$ است [۲۶-۲۲]. خواص مغناطیسی این ترکیب شدیداً تابع اندازه دانه‌ها، تخلخل، فازهای ثانویه و رشد ناهمسانگرد دانه‌ها است. دانگ و همکاران [۲۷] به آلیش پودر هگزافریت باریم با استفاده از تیتانیوم و کبالت به روش آلیاژسازی مکانیکی و بررسی خواص مغناطیسی آن پرداختند. آن‌ها گزارش نمودند که آلیش این ترکیب به میزان x برابر $0/3$ منجر به افزایش مغناطش اشباع (M_s) و نیروی واکنشی (H_c) و در صورت افزایش مقدار x هر دو پارامتر کاهش می‌یابند. ترکیب مورد نظر آنها $BaCo_xTi_xFe_{12-2x}O_{19}$ بوده که مقادیر x بین صفر تا ۰/۵ است. لی و همکاران [۲۸] نیز به



(VNA)Agilent استفاده شد. جدول ۱ نشان دهنده کدهای مربوط به نمونه‌های آلایش شده است.

جدول ۱- کدهای مربوط به نمونه‌های آلایش شده.

ترکیب	کد نمونه
BaCo _{0.3} Cr _{0.3} Sn _{0.3} Fe _{11.1} O ₁₉	CCS03
BaCo _{0.5} Cr _{0.5} Sn _{0.5} Fe _{10.5} O ₁₉	CCS05

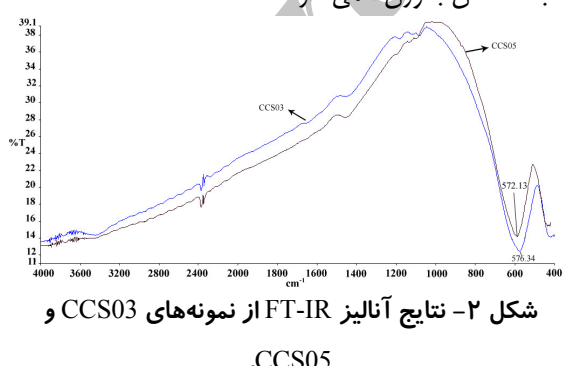
۳- نتایج و بحث

۱-۳- بررسی فازی (XRD)

شكل ۱، نشان دهنده نتایج آنالیز پراش اشعه ایکس از نمونه‌های CCS03 و CCS05 است. همانطور که مشاهده می‌شود پیک‌های موجود در نمونه‌های آلایش شده دقیقاً در زوایای قرارگیری پیک‌های مربوط به هگزافریت باریم هستند و تنها تفاوت آنها در شدت پیک‌هاست که علت آن پر شدن برخی جاهای خالی ناشی از فقدان یون Fe^{+3} موجود در شبکه هگزاگونال فریت باریم توسط یون‌های مورد نظر است. تمامی پیک‌های موجود در زوایای $30/37$ ، $32/29$ ، $34/19$ ، $37/12$ ، $40/41$ ، $42/40$ ، $55/59$ ، $56/59$ و $63/60$ مربوط به ترکیب هگزافریت باریم هستند که کاملاً با الگوی مرجع به شماره کارت استاندارد ۰۲۷۶-۰۰۷ مطابقت دارند. همچنین حضور پیک‌های فاز هماتیت مربوط به آلودگی آهن ناشی از سایش گلوله‌ها و محفظه آسیاکاری با توجه به شرایط اعمال نیروی شدید به صورت موضعی که حین آسیاکاری وجود دارد نشان دهنده عدم امکان حذف کامل این آلودگی توسط شستشو با اسید است. با آلایش ترکیب هگزافریت باریم مشاهده می‌شود که پیک‌ها به سمت زوایای کمتر جابجا شده‌اند که علت آن

فولاد زنگ‌زن با میانگین قطر $15/75 \text{ mm}$ بود قرار گرفت و با سرعت 300 rpm به مدت 20 ساعت تحت اتمسفر هوا آسیاکاری شد. در تمام شرایط به میزان 1 cc اتانول به عنوان عامل کنترل کننده فرآیند (Process Control Agent: PCA) به مخلوط پودری اضافه شد. به منظور جلوگیری از حرارت اضافی پس از هر 1 ساعت آسیاکاری، دستگاه به مدت 15 دقیقه خاموش شد. پس از انجام عملیات آسیاکاری، به منظور حذف آلودگی‌های Fe/Cr $5 \text{ mL H}_2\text{O}_2$ ، 2 mL HCl ، 30 mL محلول حاوی 23 mL آب مقطر تهیه شده و مخلوط پودری به مدت 6 درجه‌ای اتاق در این محلول هم زده شد، سپس از محلول فوق خارج و شسته شد. در نهایت در درجه‌ای 60°C به مدت 2 h به طور کامل خشک گردید. سپس نمونه‌ها به مدت 5 h در درجه‌ای 1000°C و با نرخ $5^\circ\text{C}/\text{min}$ عملیات حرارتی شدند. بررسی فازی و ساختاری پودرهای سنتز شده به ترتیب با استفاده از دستگاه XRD مدل ۳۰۰ در محدوده $10-70^\circ\text{C}$ با استفاده از تابش $\text{CuK}\alpha$ با طول موج $1/54 \text{ Å}$ آنگستروم و دستگاه FT-IR مدل Bruker صورت گرفت. جهت بررسی مورفولوژی پودر از دستگاه میکروسکوپ الکترونی رویشی (SEM) مدل VEGA//TESCAN-LMU استفاده شد. در نهایت به منظور بررسی ویژگی‌های مغناطیسی نمونه‌های آلایش شده از دستگاه مغناطیس سنج نمونه مرتعش (VSM) استفاده شد. به منظور بررسی میزان جذب امواج مایکروویو در باند X (X $-5/\text{GHz}$)، پس از آماده‌سازی نمونه‌ها در ابعاد $25 \times 10 \times 5 \text{ mm}$ حاوی 5% پودر در زمینه رزین اپوکسی از دستگاه 8510C Vector Network Analyzer

می‌شود که متناظر با ارتعاش‌های کششی بواسطه واکنش بین اکسیژن و کاتیون‌های موجود در مکان‌های اکتاهدرال و تتراهدرال است. تفاوت بین این دو باند جذبی بواسطه تغییر طول باند O^{2-} - Fe^{3+} در مکان‌های تتراهدرال و اکتاهدرال است. همانطور که ملاحظه می‌شود مد ارتعاشی حاصل از خوش‌های تتراهدرال نسبت به خوش‌های اکتاهدرال بالاتر هستند. که این مساله بدلیل طول کوتاه‌تر باندهای موجود در خوش‌های تتراهدرال است. اصولاً ارتعاشات اکسیدهای فلزی در کمتر از 1000 cm^{-1} رخ می‌دهد. جذب پهنه‌ی در 580 cm^{-1} بواسطه باند کششی $\text{Fe}-\text{O}$ است. پیک موجود در 412 cm^{-1} متعلق به باند خمی $(\text{Fe}-\text{O}_4)$ $\text{Fe}-\text{O}$ و کششی $(\text{Fe}-\text{O}_6)$ $\text{Fe}-\text{O}$ است. این نتایج بیانگر قرارگیری یون‌های مهمان در درون جایگاه‌های شبکه بلوری هستند. به علاوه با افزایش میزان آلایش، فرکانس مربوط به پیک‌های جذبی به عدد موج‌های کمتری جابجا شده است که علت آن وزن اتمی بیشتر یون‌های جانشین شده (Sn^{+4}) ($51/99$) و ($58/93$) Cr^{+2} و ($118/71$) Co^{+2} است به وزن اتمی یون‌های Fe^{+3} ($55/845$) است چرا که عدد موج نسبت عکس با وزن اتمی دارد.

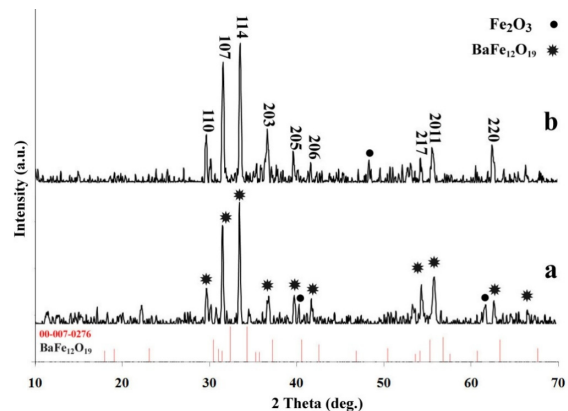


شکل ۲- نتایج آنالیز FT-IR از نمونه‌های CCS03 و CCS05

۳-۳- بررسی ریزساختاری

شکل ۳ نشان دهنده تصاویر میکروسکوپ الکترونی روبشی

افزایش ثابت شبکه به دلیل بیشتر بودن اندازه شعاع یونی یون‌های مهمان (Co^{+2} , Cr^{+3} و Sn^{+4}) به ترتیب \AA 0.69 , 0.64 و 0.72 نسبت به شعاع یونی یون‌های میزبان ($\text{Fe}^{+3}=0.63\text{ \AA}$) است و این به معنای قرارگیری کاتیون‌های مورد نظر در جایگاه‌های بلوری هگزافریت باریم است.



شکل ۱- الگوهای پراش اشعه ایکس نمونه‌های CCS03 (a) و CCS05 (b)

۲-۳- بررسی نتایج FT-IR

به منظور بررسی پیوندهای موجود در نمونه‌های آلایش شده با کاتیون‌های کیالت، کروم و قلع از آنالیز طیف‌سنجی مادون قرمز‌تبدیل فوریه استفاده شد. شکل ۲ نشان دهنده نتایج آنالیز طیف‌سنجی مادون قرمز از نمونه‌های CCS03 و CCS05 است. طیف FT-IR نشان دهنده تشکیل باندهای کششی M-O در فربت‌ها است. طبق نتایج در محدوده $400-1000\text{ cm}^{-1}$ دو باند جذبی غالب در حوالی 417 cm^{-1} و 580 cm^{-1} مشاهده می‌شود. باند فرکانس بالا در اطراف 572 cm^{-1} مربوط به مکان‌های تتراهدرال و باند فرکانس پایین در حوالی 576 cm^{-1} مربوط به مکان‌های اکتاهدرال است. در هر دو نمونه این ۲ باند جذبی مشاهده

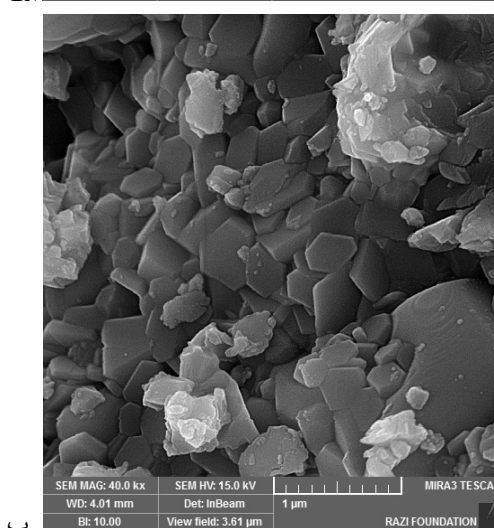
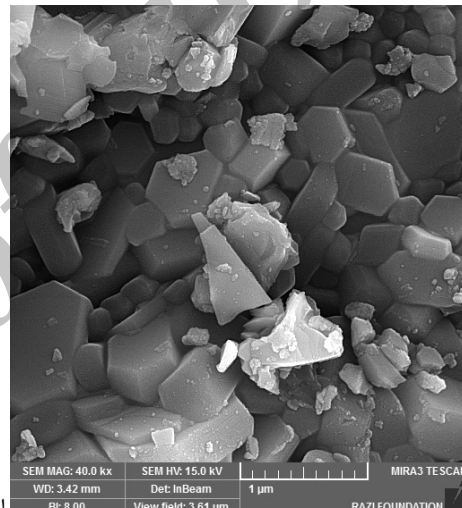


۴-۳- بررسی خواص مغناطیسی

به منظور بررسی خواص مغناطیسی نمونه‌های آلایش شده از مغناطیس سنج نمونه مرتتعش (VSM) استفاده شد. با جانشینی‌سازی یون‌های مختلف در ساختار هگزافریت باریم، نیروی پسماندزدایی نسبت به نیروی پسماندزدایی ۵۰۰۰-۵۳۰۰ Oe بود که طور میانگین دارای اندازه‌ای در حدود ۶۵۰ nm بوده که به طور میانگین دارای اندازه‌ای در حدود ۶۰۰ nm توزیع نسبتاً باریکی در اندازه بلوری هستند. نفوذپذیری مغناطیسی مختلط ترکیب هگزافریت باریم نه تنها به ترکیب شیمیایی فربت بلکه به ریزساختار پودر حاصل شامل اندازه دانه نیز بستگی دارد.

[۲۸] است، کاهش میزان نیروی وادارندگی (H_c) در نمونه هگزافریت باریم آلایش شده، بدلیل افت ناهمسانگردی مغناطیو-بلوری و تغییر جهت آسان مغناطش از محور C در ساختمان بلوری شش وجهی هگزافریت باریم به صفحه موازی با صفحه قاعده آن است. به طور کلی در ساختار هگزافریت باریم، یون‌های آهن با اسپین بالا در مکان‌های اکتاهدرا (۱۲k و ۲a) و با پیرامید (۲b) توزیع شده‌اند، این در حالی است که یون‌های آهن با اسپین پایین در مکان‌های تتراهدرا (۴f₁) و اکتاهدرا (۴f₂) قرار گرفته‌اند. از ۱۲ یون Fe^{+3} در ساختار هگزافریت باریم نوع M، ۸ یون در جایگاه‌های شبکه ۱۲k و ۲a و ۲b با اسپین بالا و ۴ یون دیگر Fe^{+3} در جایگاه‌های ۴f₁ و ۴f₂ با اسپین پایین قرار می‌گیرند. بنابراین سه زیرشبکه (۱۲k، ۲a و ۲b) موافق با دو زیرشبکه (۴f₁ و ۴f₂) به صورت پادموازی قرار می‌گیرند که بواسطه برهمکنش‌های تبادلی، با یون‌های O^{+2} ساختار فری‌مغناطیس را تشکیل می‌دهند [۲۰-۲۵]. خواص هگزافریت باریم علاوه بر جانشینی، به ریزساختار، شرایط تولید، پیکربندی الکترونی، چگونگی اشغال جایگاه‌های بلوری Fe^{+3} بوسیله کاتیون‌های مختلف وابسته است. شکل ۴ نشان دهنده حلقه پسماند نمونه‌های CCS03 و CCS05 است. همانطور که ملاحظه می‌شود در هر دو حالت کاهش

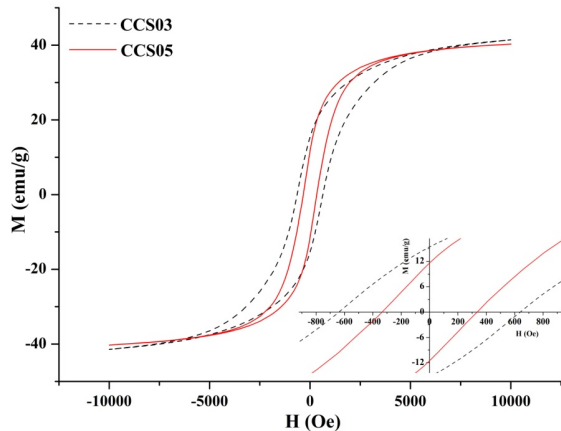
از نمونه‌های CCS03 و CCS05 است. همان‌طور که ملاحظه می‌شود ذرات هگزافریت باریم نوع M، با توزیع یکنواخت و مورفولوژی هگزاگونال با رؤوس کاملاً مشخص بوده که به طور میانگین دارای اندازه‌ای در حدود ۶۵۰ nm و توزیع نسبتاً باریکی در اندازه بلوری هستند. نفوذپذیری مغناطیسی مختلط ترکیب هگزافریت باریم نه تنها به ترکیب شیمیایی فربت بلکه به ریزساختار پودر حاصل شامل اندازه دانه نیز بستگی دارد.



شکل ۳- تصاویر SEM از نمونه‌های

الف) CCS03 و ب) CCS05

کاهش ناهمسانگردی است. با توجه به حلقه پسماند نمونه آلایش شده با کبات، کروم و قلع مقادیر مربوط به مغناطش اشباع (M_s) و نیروی وادارندگی (H_c) حاصل از آلایش در جدول ۲ آورده شده است.



شکل ۴- حلقه پسماند نمونه هگزافریت باریم آلایش شده با کاتیون‌های کبات، کروم و قلع با مقادیر آلایش $0.0/3$ و $0.0/5$.

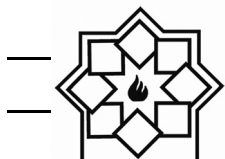
جدول ۳- مقادیر مغناطش اشباع (M_s) و نیروی وادارندگی (H_c) پس از آلایش.

ترکیب	نیروی وادارندگی (Oe)	مغناطش اشباع (emu/g)
$\text{BaCo}_{0.3}\text{Cr}_{0.3}\text{Sn}_{0.3}\text{Fe}_{11.1}\text{O}_{19}$	۴۲/۲۱	۶۵۶
$\text{BaCo}_{0.5}\text{Cr}_{0.5}\text{Sn}_{0.5}\text{Fe}_{10.5}\text{O}_{19}$	۴۰/۱۳	۳۴۳

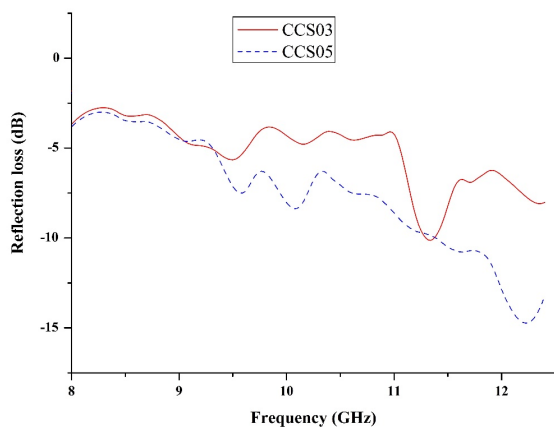
۳-۵- بررسی مشخصه جذب امواج مایکروویو

میزان تلفات انکاسی یک ماده جاذب امواج الکترومغناطیس تحت برخورد عمودی، به صورت تک لایه و با پشتی فلزی با توجه به مقدار امپدانس ورودی آن طبق نظریه خطوط انتقال با فرمول زیر مشخص می‌شود [۲۴]:

مغناطش اشباع (M_s) نسبت به حالت خالص (g/60. emu/g) رخ داده است و نیروی وادارندگی (H_c) نسبت حالت خالص [۲۸] دارای کاهش بسیاری بوده است. طبق مطالعات انجام شده، بررسی‌ها نشان می‌دهد که یون‌های Sn^{+4} تمايل زیادی به جایگزینی با یون‌های آهن در مکان‌های با پیرامید (۲b) و تتراهدرال (۴f₁) دارند [۲۹-۳۱] از طرفی طبق نتایج بررسی‌های آنالیز موزباور محققان ثابت نمودند که یون Cr^{+3} در تمام موقعیت‌های Fe^{+3} به جز موقعیت تتراهدرال (۴f₁)، امکان حضور دارد [۳۲-۳۴]. همچنین احتمال اشغال مکان‌های ۲b و ۴f₂ توسط یون Co^{+2} وجود دارد [۲۸، ۲۷، ۲۱، ۲۰]. بنابراین می‌توان این چنین بیان نمود که با توجه به کاهش مغناطش اشباع (M_s) هر دو نمونه احتمال اشغال مکان‌های اکتاھدرال توسط یون‌های مهمان وجود دارد و همین امر باعث کاهش مغناطش اشباع (M_s) در هر دو نمونه شده است. منشا ناهمسانگردی مغناططو-بلوری بالای هگزافریت باریم نوع M حضور یون‌های آهن در مکان‌های ۲b با عدم تقارن بالا است [۲۱، ۲۷، ۲۸]. یون‌های کبات با یون‌های آهن در مکان‌های ۲b و ۴f₂ جانشین خواهند شد و بنابراین به طور موثر ناهمسانگردی مغناططو-بلوری کلی را کاهش می‌دهند. یون کبات دارای ناهمسانگردی مغناططو-بلوری قوی در راستای صفحه ab است بنابراین آلایش ترکیب هگزافریت باریم با کاتیون کبات منجر به کاهش ناهمسانگردی در راستای محور c یا ab و تغییر ناهمسانگردی از محور c به صفحه می‌شود. از آنجایی که نیروی وادارندگی (H_c) ارتباط نزدیکی با ناهمسانگردی در هگزافریت باریم دارد، کاهش در میزان نیروی وادارندگی (H_c) با افزایش میزان آلایش مربوط به



CCS05 در فرکانس $12/2\text{GHz}$ ، بیشترین میزان تلفات انعکاس برابر -15dB حاصل شد. جذب بالای کامپوزیت CCS05 و رزین اپوکسی می‌تواند مربوط به کمتر بودن نیروی وادارندگی H_c و افزایش نفوذپذیری مغناطیسی ترکیب مورد نظر باشد. مکانیزم غالب جذب امواج الکترومغناطیس در نمونه‌های فریتی آلاییده شده حرکت دیواره حوزه‌های مغناطیسی است.



شکل ۵- منحنی‌های تغییرات جذب نسبت به بسامد در نمونه‌های CCS03 و CCS05.

۴- نتیجه‌گیری

در این پژوهش خواص ساختاری و مغناطیسی پودر هگزافریت باریم آلایش شده با یون‌های کبالت، کروم و قلع به روش مکانوشیمیایی بررسی شد. نتایج حاکی از تشکیل تک فاز هگزافریت باریم پس عملیات حرارتی در دمای 1000°C به مدت 5h بود. همچنین حضور دو باند جذبی در طیف‌های FT-IR تایید کننده تشکیل خوش‌های چهاروجهی و هشت وجهی اکسیدهای فلزی بود. طبق تصاویر میکروسکوپ الکترونی روبشی ذرات با مورفولوژی کاملاً هگزاگونال و توزیع باریک بودند.

$$R(\text{dB}) = 20 \log \left| \frac{Z_{\text{in}} - 1}{Z_{\text{in}} + 1} \right| \quad (1)$$

که در آن Z_{in} توسط معادله زیر به پارامترهای مغناطیسی ماده جاذب ارتباط پیدا می‌کند [۲۴]:

$$Z_{\text{in}} = \sqrt{\frac{\mu_r}{\epsilon_r}} \tanh \left[j \left(\frac{2\pi}{c} \sqrt{\mu_r \epsilon_r} \right) f d \right] \quad (2)$$

که در آن μ_r و ϵ_r به ترتیب نفوذپذیری مغناطیسی و گزرهای الکتریکی محیط جاذب، C سرعت نور در هواست. در یک ماده جاذب ایده‌آل شرایط باید به گونه‌ای باشد که امپدانس ورودی برابر 1 شود. باریم هگزافریت خالص دارای رزونانس فرومغناطیسی در حدود $47/6\text{ GHz}$ است. زمانیکه فرکانس فرمغناطیس باشد در این صورت ترکیب باریم هگزافریت بخش اعظمی از انرژی را به منظور چرخش دیواره‌های دامنه‌ها جذب خواهد کرد. فریت باریم خالص، بهدلیل بالا بودن فرکانس تشدید در آن دارای جذب مناسبی در باند X نیست. آلایش این فریت با یون‌های مناسب، منجر به کاهش فرکانس تشدید و افزایش میزان جذب در محدوده باند X می‌شود. شکل ۵ نشان دهنده نمودارهای میزان تلفات انعکاسی با فرکانس در محدوده $8-12/5\text{ GHz}$ برای نمونه‌های CCS03 و CCS05 است. در تمامی شرایط ضخامت نمونه‌ها برای مقایسه یکسان بین میزان جذب امواج ثابت و برابر 5 mm در نظر گرفته شد. نمونه‌ها مشتمل از 50% وزنی پودر در زمینه رزینی بودند. با توجه به منحنی‌های جذب مشاهده می‌شود که در تمامی نمونه‌ها در محدوده باند X با افزایش فرکانس میزان جذب امواج افزایش می‌یابد. در نمونه CCS03 در فرکانس $11/3\text{ GHz}$ بیشترین میزان تلفات انعکاس برابر $-10/1\text{ dB}$ و در نمونه

- pp1799-1804, 2011.
- [2] L. Wang, J. Zhang, Q. Zhang, N. Xu, J. Song, "XAFS and XPS studies on site occupation of Sm³⁺ ions in Sm doped M-type BaFe₁₂O₁₉", Journal of Magnetism and Magnetic Materials, Vol377, pp 362-367, 2015.
- [3] L. Zhao, X. Lv, Y. Wei, C. Ma, L. Zhao, "Hydrothermal synthesis of pure BaFe₁₂O₁₉ hexafer ritenanoplatelets under high alkaline system", Journal of Magnetism and Magnetic Materials, Vol 332, pp 44-47, 2013.
- [4] X. Xu, J. Park, Y. K. Hong, A. M. Lane, "Synthesis and characterization of hollow mesoporous BaFe₁₂O₁₉ spheres", Journal of Solid State Chemistry, Vol222, pp 84-89, 2015.
- [5] Y. Wang, Y. Huang, Q. Wang, "Preparation and magnetic properties of BaFe₁₂O₁₉/Ni_{0.8}Zn_{0.2}Fe₂O₄nanocomposite ferrite", Journal of Magnetism and Magnetic Materials, Vol324, pp 3024-3028, 2012.
- [6] M. Choi, S. Cho, Y. Song, D. Choi, S. Park, Y. Kim, "Novel synthesizing method of BaFe₁₂O₁₉ microrod and its superior coercivity with shape anisotropy", Materials Letters, Vol 139, pp 292-295, 2015.
- [7] L. Hongfei, W. Jianjiang, X. Baocai, W. Guoshun, H. Yongshen, G. Haitao, Y. Weimin, "Effects of Mg or Sr Doping on the Intrinsic Characteristics and Absorption Properties of Micro-nano BaFe₁₂O₁₉ Hollow Multiphase Ceramic Microspheres", Journal of Magnetism and Magnetic Materials, Vol 374, pp 530-538, 2015.
- [8] W. Widanarto, M. Jandra, S. K. Ghoshal, M. Effendi, W. T. Cahyanto, "BaCO₃ mediated modifications in structural and magnetic properties of natural nanoferrites", Journal of Physics and Chemistry of Solids, Vol 79, pp 78-81, 2015.
- [9] M. J. Molaei, A. Ataie, S. Raygan, S. J. Picken, "Role of intensive milling in the processing of barium ferrite/ magnetite/ iron hybrid magnetic nano-composites

اندازه‌گیری پارامترهای مغناطیسی با مغناطیس سنج نمونه مرتعش حاکی از تشکیل ماده‌ای نیمه سخت به واسطه آلایش با کاتیون‌های کجالت، کروم و قلع بود. بیشترین میزان مغناطش اشباع در نمونه‌ای با ترکیب ۴۲/۲۱ emu/g BaCo_{0.3}Cr_{0.3}Sn_{0.3}Fe_{11.1}O₁₉ اندازه‌گیری شد. همچنین نتایج نشان داد که افزایش میزان آلایش آلایش از ۰/۳ به ۰/۵ تاثیر چندانی در میزان مغناطش اشباع ندارد که این مساله می‌تواند ناشی از حضور یون‌های مورد نظر در مکان‌های تراهدرا ال در اثر افزایش میزان آلایش باشد که در نتیجه منجر به تغییر نه چندان زیاد در میزان مغناطش اشباع شده است. از طرفی افزایش میزان آلایش از ۰/۳ به ۰/۵ منجر به کاهشی چشمگیر در میزان نیتروی وادراندگی هگزافریت باریم آلایش شده می‌شود که به دلیل حضور یون‌های کجالت، کروم و قلع در مکان‌های ۲b کاهش ناهمسانگردی مغناطو-بلوری است. نمونه فریتی BaCo_{0.5}Cr_{0.5}Sn_{0.5}Fe_{10.5}O₁₉ دوپ شده با ترکیب عملکرد جذب نسبتاً خوبی در محدوده باند X نسبت به نمونه دیگر از خود نشان داد. کامپوزیت این نمونه با رزبن اپوکسی در محدوده فرکانس ۸-۱۲/۵ GHz در ضخامت ۵ mm دارای حداقل میزان تلفات انعکاس ۱۵dB-در فرکانس ۱۲/۲GHz بود که این امر بواسطه کاهش فرکانس رزونانسی و ناهمسانگردی مغناطو بلوری رخ داد.

مراجع

- [1] H. S. Ozeri, I. Kucuk, H. O. Zkan, "Improvement inmagnetic properties of Las ubstituted BaFe₁₂O₁₉ particles prepared with anunusually low Fe/Bamolar ratio", Journal of Magnetism and Magnetic Materials, Vol323,



- Vol20, pp 3425-3429, 2014.
- [17] S. Verma, O. P. Pandey, A. Paesano, P. Sharma, "Comparison of structural and magnetic properties of La^{3+} substituted $\text{BaFe}_{12}\text{O}_{19}$ prepared by different substitution methods", *Physica B: Condensed Matter*, Vol 448, pp 57-59, 2014.
- [18] M. Kishimoto, S. Kitahata, M. Amemiya, Structural and Magnetic Properties of $\text{BaCo}_x\text{Fe}_{12x}\text{O}_{19}$ ($x=0.2, 0.4, 0.6, 1$) Nanoferrites Synthesized via Citrate Sol-Gel Method, *J. Appl. Phys.*, Vol 61, pp 101-104, 2011.
- [19] A. Xia, D. Du, P. Li, Y. Sun, Crystalline structures and intrinsic magnetic properties of ZnTi-substituted hexagonal M-type Ba ferrite powder, *J. Mater. Sci.: Mater. Electron.*, Vol 22, pp 223-227, 2011.
- [20] T. Kaur, B. Kaur, B. Bhat, S. Kumar, A.K. Srivastava, Effect of calcinations temperature on microstructure, dielectric, magnetic and optical properties of $\text{Ba}_{0.7}\text{La}_{0.3}\text{Fe}_{11.7}\text{Co}_{0.3}\text{O}_{19}$ hexaferrites, *Physica B*, Vol 456, pp 206-212, 2011.
- [21] Z. F. Zi, Q.C. Liu, J. M. Dai, Y. P. Sun, Effects of Ce-Co substitution on the magnetic properties of M-type barium hexaferrites, *Solid State Communications*, Vol 152, pp 894-897, 2012.
- [22] M. Choi, S. Cho, Y. Song, S. Baek, H. Kim, J. Jung, H. Lee, C. Park, S. Park, Y. kim, "Synthesis and characterization of hollow $\text{BaFe}_{12}\text{O}_{19}$ submicron spheres for advance functional magnetic materials", *Current Applied Physics*, Vol 14, pp 1208-1211, 2014.
- [23] V. V. Soman, V. M. Nanoti, D. K. Kulkarni, "Effect of Substitution of Zn-Ti on Magnetic and Dielectric Properties of $\text{BaFe}_{12}\text{O}_{19}$ ", *Physics Procedia*, Vol 54, pp 30-37, 2014.
- [24] M. Sharma, S. C. Kashyap, H. C. Gupta, "Effect of Mg-Zr substitution and microwave processing on magnetic properties of barium hexaferrite", *Physica via partial reduction of barium ferrite", *Materials Characterization*, Vol 101, pp 78-82, 2015.*
- [10] D. A. Vinnik, D. A. Zherebtsov, L. S. Mashkovtseva, S. Nemrava, A. S. Semisalova, D. M. Galimov, S. A. Gudkova, I. V. Chumanov, L. I. Isaenko, R. Niewa, "Growth, structural and magnetic characterization of Co- and Ni-substituted barium hexaferrite single crystals", *Journal of Alloys and Compounds*, Vol 628, pp 480-484, 2015.
- [11] J. Luo, Y. Xu, H. Mao, "Magnetic and microwave absorption properties of rare earth ions ($\text{Sm}^{3+}, \text{Er}^{3+}$) doped strontium ferrite and its nanocomposites with polypyrrole", *Journal of Magnetism and Magnetic Materials*, Vol 381, pp 365-371, 2015.
- [12] W. S. Castro, R. R. Correa, P. I. PaulimFilho, J. M. Rivas Mercury, A. A. Cabral, "Dielectric and magnetic characterization of barium hexaferrite ceramics", *Ceramics International*, Vol 41, pp 241-246, 2015.
- [13] M. Liu, H. Yang, Y. Lin, Y. Yang, "One-step synthesis of homogeneous $\text{BaFe}_{12}\text{O}_{19}/\text{Y}_3\text{Fe}_5\text{O}_{12}$ composite powders", *Materials Research Bulletin*, Vol 60, pp 195-200, 2014.
- [14] D. Lisjak, "The influence of magnetic interactions and shape anisotropy on the alignment and assembly of $\text{BaFe}_{12}\text{O}_{19}$ and Er_2O_3 nanoplates", *Materials Chemistry and Physics*, Vol 148, pp 311-318, 2014.
- [15] Y. Wang, Y. Huang, J. Ding, "Synthesis and electromagnetic absorption properties of polypyrrole/ $\text{BaFe}_{12}\text{O}_{19}-\text{Ni}_{0.8}\text{Zn}_{0.2}\text{Fe}_2\text{O}_4$ /multi-walled carbon nanotube composites", *Materials Science in Semiconductor Processing*, Vol 26, pp 632-641, 2014.
- [16] G. Nabiyouni, D. Ghanbari, A. Yousofnajad, M. Seraj, "A sonochemical-assisted method for synthesis of $\text{BaFe}_{12}\text{O}_{19}$ nanoparticles and hard magnetic nanocomposites", *Journal of Industrial and Engineering Chemistry*,

- substituted M-type barium hexaferrite, Journal of Magnetism and Magnetic Materials, Vol295, pp 263-268, 2005.
- [33] M. N. Ashiq, M. J. Iqbal, I. Hussain-Gul, Effect of Al-Cr doping on the structural, magnetic and dielectric properties of strontium hexaferritenanomaterials, Journal of Magnetism and Magnetic Materials, Vol 323, pp 259-263, 2011.
- [34] M. Awawdeh, I. Bsoul, S. H. Mahmood, Magnetic properties and Mössbauer spectroscopy on Ga, Al, and Cr substituted hexaferrites, Journal of Alloys and Compounds, Vol 585, pp 465-473, 2014.
- B: Condensed Matter, Vol 448, pp 24-28, 2014.
- [25] M. Manikandan, C. Venkateswaran, "Effect of high energy milling on the synthesis temperature, magnetic and electrical properties of barium hexagonal ferrite", Journal of Magnetism and Magnetic Materials, Vol 358-359, pp 82-86, 2014.
- [26] M. Zhang, Z. Zi, Q. Liu, X. Zhu, C. Liang, Y. Sun, J. Dai, "Solvothermal synthesis and magnetic properties of $\text{BaFe}_{12-2x}(\text{NiTi})_x\text{O}_{19}$ nanoparticles", Journal of Magnetism and Magnetic Materials, Vol 369, pp 23-26, 2014.
- [27] C. Dong, X. Wang, P. Zhou, T. Liu, J. Xie, L. Deng, Microwave magnetic and absorption properties of M-type ferrite $\text{BaCo}_x\text{Ti}_x\text{Fe}_{12-2x}\text{O}_{19}$ in the Kband, Journal of Magnetism and Magnetic Materials, Vol 354, pp 340-344, 2014.
- [28] J. Li, H. Zhang, Q. Li, Y. Li, G. Yu, Influence of La-Co substitution on the structure and magnetic properties of low-temperature sintered M-type barium ferrites, Journal of Rare Earths, Vol 31, pp 983-987, 2013.
- [29] M. Jamalian, An investigation of structural, magnetic and microwave properties of strontium hexaferrite nanoparticles prepared by a sol-gel process with doping Sn and Tb, Journal of Magnetism and Magnetic Materials, Vol 378, pp 217-220, 2015.
- [30] A. Davoodi, B. Hashemi, Magnetic properties of Sn-Mg substituted strontium hexaferrite nanoparticles synthesized via coprecipitation method, J. Alloys Compd., Vol 509, pp 5893-5896, 2011.
- [31] M. Jamalian, A. Ghasemi, E. Paimozd, Sol-gel synthesis of Mn-Sn-Ti substituted strontium hexaferrite nanoparticles: structural, magnetic and reflection loss properties, J. Electron. Mater., Vol 43, pp 1076-1082, 2014.
- [32] J. Qiua, M. Gua, H. Shen, Microwave absorption properties of Al- and Cr-